



## آشکارسازی روند تغییرات بارش شمال کشور با استفاده از آزمون غیرپارامتری من-کندال

مجتبی خوش روشن<sup>۱</sup>، محمد میرناصری<sup>۲</sup> و مهسا پسرکلو<sup>۳</sup>

<sup>۱</sup>- استادیار و دانشجوی کارشناسی ارشد، گروه مهندسی آب، دانشگاه علوم کشاورزی و منابع طبیعی ساری  
<sup>۲</sup>- مری، گروه مهندسی آب، دانشگاه علوم کشاورزی و منابع طبیعی ساری، (تویسندۀ مسئول: mohammadmirnaseri@yahoo.com)  
تاریخ دریافت: ۹۴/۱۰/۲۶ تاریخ پذیرش: ۹۵/۱۱/۶

### چکیده

تحقیقات دانشمندان اقلیم شناسی نشان می‌دهد که دمای هوای سطح کره زمین تا  $6/0^{\circ}$  درجه سانتی‌گراد در طول قرن پیستم گرم‌تر شده است. این گرما به دلیل افزایش غلظت گازهای گلخانه‌ای بوده که همراه با تغییرات در روند بارش ماهانه، فصلی و سالانه ایستگاه‌های باران سنجی شمال ایران در سه دوره  $40^{\circ}$ ،  $50^{\circ}$  و  $95^{\circ}$  درصد با آزمون ناپارامتری من-کندال مورد بررسی قرار گرفت. جهت شناخت بهتر تغییرات و نوسانات مکانی در منطقه مورد مطالعه، روندهای مشاهده شده با استفاده از روش درون‌یابی و زنگ مخدوچ عکس فاصله (IDW) انجام شد. نتایج نشان داد که روند تغییرات، هم از لحاظ زمانی و هم مکانی در منطقه مورد مطالعه متفاوت می‌باشد. مقدار RMSE برای متغیرهای مختلف با استفاده از روش IDW کمتر از  $0/2$  بدست آمده است که نشان دهنده کارآمد بودن این روش در درون‌یابی بارش است. نتایج روندیابی نشان داد که در فصول سرد سال، روندهای نزولی و در فصول گرم سال، روندهای صعودی وجود دارد که حاکی از اهمیت تغییرات در دوره  $30^{\circ}$  و  $40^{\circ}$  ساله برای میانگین بارش سالانه در شرق استان اغلب مناطق نزولی و در غرب استان، اغلب صعودی می‌باشد. برای دوره  $40^{\circ}$  ساله نیز، روند نزولی در شرق استان و وجود دارد. به طوری که روند نزولی معنی دار در سطح اطمینان  $90^{\circ}$  درصد در حوزه تالار در بالادست حوزه حاکم می‌باشد. برای غرب استان، روند صعودی در سطح اطمینان  $99^{\circ}$  درصد تقریباً در همه زیرحوضه‌های حوزه چالوس رود، به چشم می‌خورد. نتایج این پژوهش نشان می‌دهد که تغییر اقلیم در منطقه مورد مطالعه مشهود می‌باشد، که لزوم شناخت هر چه بیشتر تغییرات متفاوت‌های اقلیمی و تاثیر آن بر منابع آب، محیط زیست و سایر بخش‌های مرتبط را مطلب.

واژه‌های کلیدی: تغییر اقلیم، تحلیل روند سری‌های زمانی، درون‌یابی، IDW، استان مازندران

قالب تجزیه و تحلیل سری‌های زمانی به عنوان اولین گام تحقیق مطرح می‌باشد<sup>(۱۵)</sup>. مساح بوانی و مرید<sup>(۱۴)</sup> با بررسی اثرات تغییر اقلیم بر دما، بارندگی و رواناب در حوزه رودخانه زاینده‌رود به این نتیجه دست یافته‌ند که میزان بارندگی، کاهش و مقدار دما افزایش یافته است. به طوری که میزان کاهش بارندگی  $10^{\circ}$  درصد و افزایش دما به میزان  $4/6^{\circ}$  و  $3/2^{\circ}$  درجه سانتی‌گراد بهترین در ساریوهای A2 و B2 پیش‌بینی شده است. گاریچ و همکاران<sup>(۶)</sup> اثرات تغییر اقلیم بر بارش و جریان رودخانه‌ای را در  $10^{\circ}$  حوزه آبریز در آمریکا مورد بررسی قرار دادند نتایج آنها حاکی از روند افزایشی معنی دار در دو پارامتر بوده است. کارل و نایت<sup>(۱۰)</sup> روند بارش، مقدار، فراوانی و شدت آن را در ایالات متحده آمریکا بررسی کردند. آنها معتقدند که از سال  $1910^{\circ}$  تا اواخر قرن پیستم، حدود  $10^{\circ}$  درصد بارش ایالات متحده افزایش یافته است. که این افزایش ابتدا در رویدادهای بارش‌های سنگین روزانه منعکس شده است. شدت آن را در ایالات متحده آمریکا می‌تواند که از  $10^{\circ}$  درصد مقدار بارش افزایش یافته، به به عنوان مثال بیش از  $53^{\circ}$  در حدود  $10^{\circ}$  درصد بالای توسعه بارش مشاهده شده است. پیرنیا و همکاران<sup>(۱۸)</sup> تغییرات دما و بارندگی را در سواحل جنوبی دریای خزر بررسی کردند و نشان دادند که در ایستگاه رامسر و میانگین منطقه‌ای، دمای متوسط افزایش و بارندگی کاهش یافته است و در دو ایستگاه بالسیر و گرگان بهترین شاهد افزایش و کاهش این دو پارامتر می‌باشد.

مدرس و سیلووا<sup>(۱۵)</sup> با استفاده از آزمون من-کندال به بررسی روند تغییرات بارش سالانه و تعداد روزهای بارانی ماهانه و سالانه دریست ایستگاه در مناطق خشک و نیمه خشک ایران پرداختند. هر چند در برخی ایستگاه‌ها روند کاهشی و یا افزایشی وجود داشت اما هیچ نشانی از تغییر اقلیم معنادار در مناطق خشک و نیمه خشک ایران

### مقدمه

شناخت چگونگی روند تغییرات اقلیمی بهویژه روند تغییرات بارش، از جمله مواردی است که در سال‌های اخیر مورد توجه محققین علوم جوی و هیدرولوژی قرار گرفته است. بدون توجه به این که یک مکان در اقلیم مرتبط یا خشک قراردارد آکاهی از روند تغییرات بارش یک مکان، می‌تواند بسیاری از مدیران مرتبط با آب را نسبت به تصمیم‌گیری‌های آینده خود در ارتباط با اجرای پروژه‌های عمرانی باری دهد.

افزایش دما طی چهار دهه گذشته و کاهش پوشش برف و بخ در لایه تروفوسفر جو، از جمله شواهد تغییر اقلیم است. گزارش هیات بین‌الدول تغییر اقلیم سازمان ملل هم افزایش  $2^{\circ}$  تا  $6^{\circ}$  درجه سانتی‌گراد دمای کره زمین تا سال  $2090^{\circ}$  میلادی را پیش‌بینی کرده که می‌تواند آسیب‌های بسیار جدی را بر محیط زیست و منابع آب تحمیل کند<sup>(۸)</sup>. تغییرات اقلیمی با عوامل طبیعی مثل خشکی و خشکسالی یا فعالیت‌های انسانی تشید می‌شود. شناسایی و آشکارسازی تغییرات هر یک از عوامل و یافتن علل آن، از قدمهای اولیه مطالعات منابع آب به شمار می‌رود که در قالب روند عناصر اقلیمی مطالعه می‌شود. وجود روند در سری‌های هیدرومتریولوژی ممکن است ناشی از تغییرات طبیعی، مانند خشکسالی یا فعالیت‌های انسانی مثل افزایش گازهای گلخانه‌ای باشد<sup>(۱۴)</sup>. رخداد روند در عوامل اقلیمی هر ناحیه امری عادی بوده اما تداوم آن در سال‌های بعد می‌تواند اثرات بازتری بر مولفه‌های تولیدی و اقتصادی و همچنین اجتماعی داشته باشد. تغییر اقلیم فرآیندی منحصر به عصر حاضر نبوده و شواهدی از جایه جایی دوره‌های سرد و گرم در کره زمین وجود دارد<sup>(۲)،(۲۰)</sup>. تحقیقات انجام شده در زمینه مباحث تغییر اقلیم و اثرات آن بر محیط زیست و منابع آب بسیار متفاوت است. اما تحلیل روند متفاوت‌های محیطی در

هواشناسی و یافته‌های مدل‌های شبیه‌سازی تغییرات اقلیمی می‌توان نتیجه گرفت که میانگین دمای هوا روندی افزایشی دارد، که خود ممکن است سبب کاهش مقدار بارش و افزایش احتمال رخداد خشکسالی و موج گرمایی، بهویژه در نواحی خشک و نیمه خشک شود (۳). از سویی دیگر، انتظار می‌رود که پدیده تغییر اقلیم در سده بیست و یکم ادامه یابد (۷). بنابراین افزایش پیوسته انتشار گازهای گلخانه‌ای، این اثرات را تشدید خواهد کرد. به طور کلی هدف از این پژوهش، بررسی روند بارش ماهانه، فصلی و سالانه ایستگاه‌های هواشناسی با روش ناپارامتری من-کنдал می‌باشد.

استفاده از روش‌های زمین آمار در مطالعات مختلف به ویژه علم منابع آب به کار گرفته شده است که به عنوان تکیکی برای این هدف استفاده می‌شود (۱۲). در سال‌های اخیر پژوهشگران بسیاری در داخل و خارج از کشور به کمک روش‌های زمین آماری، مبادرت به تهیی نقشه‌های هواشناسی ورزیده‌اند.

ناولم و سانیس (۱۶) بهترین مدل را مجهت تهیی نقشه همباران در کشور سوئیس، مدل‌های کریجینگ و کریجینگ عمومی معرفی نمودند. زاکریس و ونجلس (۲۳) استفاده از روش عکس محدود فاصله، نقشه بارندگی ماهانه و نقشه درصد نرمال متوسط بارندگی سالانه ترسیم و سپس نقشه توزیع مکانی شاخص SPI را تهیی کردند. تواری و همکاران (۲۲) از روش کریجینگ برای تهیی نقشه‌های میانه بارندگی استفاده کردند.

### مواد و روش‌ها منطقه مورد مطالعه

منطقه مورد مطالعه، حوزه‌های آبخیز استان مازندران می‌باشد که این ناحیه در حد فاصل عرض جغرافیایی شمالی  $۵۰^{\circ}$  تا  $۵۴^{\circ}$  و طول شرقی قرار دارد. مساحت استان مازندران  $۲۳۸۱۳$  کیلومتر مربع که معدل  $۱/۴$  درصد مساحت کل ایران است. اقلیم مازندران با توجه به وجود دریا، کوه و جنگل به دو نوع معتدل مرطوب و کوهستانی تقسیم می‌شود. پوشش گیاهی استان شامل جنگل، اراضی زراعی، مرتع و غیره می‌باشد. در این پژوهش برای بررسی روند متغیرهای هواشناسی از داده‌های بارش در سه مقیاس زمانی سالانه، فصلی، ماهانه برای ۳ دوره  $۳۰^{\circ}$ ،  $۴۰^{\circ}$  و  $۵۰^{\circ}$  ساله استفاده شد. برای دوره  $۳۰^{\circ}$ ،  $۴۰^{\circ}$  و  $۵۰^{\circ}$  ساله به ترتیب از ع۹، ع۸ و ع۷ ایستگاه منتخب در این پژوهش در جدول ۱ آورده شده است.

مشاهده نکردن. زو و همکاران (۲۴) با استفاده از آزمون‌های پارامتری و ناپارامتری، روند تغییرات دما و بارش را در حوزه آبریز تاریخ چین بررسی کردند. نتایج آنها نشان داد که سری‌های زمانی دما دارای روند معنی‌دار افزایشی بوده و داده‌های بارش نیز افزایش یافته است. فیداس و همکاران (۵) تحلیل روند سری زمانی بارش ۵۰ ساله اخیر یونان را در ارتباط با شاخص‌های گردشی جو بررسی کردند. آنها با انجام دو روش‌داده‌ای مرباعات و من-کنдал روی داده‌های بارش یونان معتقدند که روند بارش سالانه و زمستانه یونان، از سال ۱۹۸۴ به بعد کاهشی بوده است. همچنین در ادامه این تحقیق، تغییرپذیری بارش در ارتباط با شاخص گردش جوی نوسان اطلس شمالی، نوسان مدیترانه‌ای و شاخص جدید نوسان مدیترانه ای به کمک تحلیل همبستگی، بررسی شد. طبری و همکاران (۲۱) روند ۴۰ ساله متغیرهای دما، بارش، رطوبت نسبی، سرعت باد و تبخیر تعرق گیاه مرجع را در دو اقلیم سرد و گرم ایران به روش من-کنдал بررسی کردند. یافته‌های آنان نشان داد که بیشترین نوسانات در سری داده‌های بارش و سرعت باد و کمترین نوسانات در سری داده‌های دما وجود دارد. ماریانجی و همکاران (۱۳) نیز معنی‌دار بودن روند افزایشی دما و روند کاهشی بارش و دی سالانه در حوزه آبریز رودخانه یلفان در همدان را از آزمون من-کنдал به اثبات رساندند. هیدالگو و همکاران (۸) روند روزانه بارش در والنسیای اسپانیا را طی نیمه دوم قرن پیشتر بررسی کردند. آنها ۱۰ روز از هر سال که بیش از  $۵^{\circ}$  درصد میانگین بارش کشور در آن رخ می‌داد را به عنوان بالاترین رویدادهای بارشی انتخاب نمودند. همچنین روند بارش سالانه و روند رویدادهای کوچک و بزرگ بارش را به طور درصدی با هم مقایسه نمودند. آن‌ها تایید کردند که تغییرات بارش سالانه تنها به تغییرات پیش‌شده در چند روند بارشی بستگی داشته است. به علاوه با وجود روند منفی این رویدادهای توزیع آن‌ها با بارش سالانه افزایش داشته است. عزیزی و روشنى (۲) با هدف مطالعه انحراف احتمالی برخی از عناصر رطوبتی و دمایی، تغییر اقلیم سواحل جنوبی خزر را بررسی کردند. آنها با استفاده از روش من-کنдал تغییرات داده‌های حداقل و حداکثر دما، بارش، رطوبت و ابرناکی را طی دوره چهل ساله در منطقه شناسایی و تیجه گرفتند که درصد تغییر در فصل زمستان و تابستان نسبت به بهار و پاییز بیشتر است و همچنین زمان شروع تغییرات نیز در ایستگاه‌های منطقه یکسان نیست.

به طور کلی، با توجه پژوهش‌های قبلی انجام گرفته، داده‌های

جدول ۱- مشخصات و موقعیت مکانی ایستگاه‌های هواشناسی مورد بررسی در استان مازندران  
Table 1. Specification and location of the meteorological stations in Mazandaran province

سال تأسیس	سطح دریا (m)	ارتفاع از جغرافیایی (m)	عرض جغرافیایی	طول جغرافیایی	نام حوزه	نام رودخانه	نوع ایستگاه	کد ایستگاه
۱۳۴۴	۱۰۰	۳۶°۵۴'۵۳"	۵۰°۳۷'۵۴"	صفارود	صفارود	باران سنجی معمول	رامسر	۱۴۰۲۱۳۰۰۲
۱۳۴۴	۸۰	۳۶°۴۹'۰۷"	۵۰°۴۳'۰۶"	چالکرود	چالکرود	باران سنجی معمول	گانکسر	۱۴۰۲۱۳۰۱۲
۱۳۴۴	-۲۰	۳۶°۵۲'۳۵"	۵۰°۴۵'۰۹"	نسارود	نسارود	باران سنجی معمول	کلای بن	۱۴۰۲۱۳۰۱۱
۱۳۴۷	۱۴۰	۳۶°۴۵'۱۴"	۵۰°۵۰'۱۳"	چشمکله	چشمکله	باران سنجی معمول	هرات بر	۱۴۰۲۱۳۰۱۸
۱۳۵۴	۱۶۰	۳۶°۴۱'۴۸"	۵۰°۵۸'۲۸"	آزادرود	آزادرود	باران سنجی معمول	دینارسا	۱۴۰۲۱۳۰۲۷
۱۳۵۲	۷۰	۳۶°۴۰'۱۷"	۵۱°۰۶'۰۵"	کاظمروド	کاظمرود	باران سنجی معمول	ماشالله آباد	۱۴۰۲۱۳۰۲۹
۱۳۵۴	۱۰۲۰	۳۶°۳۱'۳۸"	۵۱°۱۳'۳۲"	سردابرود	سردابرود	باران سنجی معمول	والت	۱۴۰۲۱۳۰۳۷
۱۳۵۵	-۱۵	۳۶°۴۲'۰۰"	۵۱°۱۴'۵۸"	پلنگ آبرود	پلنگ آبرود	باران سنجی معمول	کادرآباد	۱۴۰۲۱۳۰۳۳
۱۳۲۸	۳۶۰	۳۶°۳۰'۳۵"	۵۱°۱۹'۵۲"	چالوس	چالوس	تبخیر سنج ثبات	بل ذغال	۱۴۰۲۱۱۰۴۰
۱۳۵۱	-۱۰	۳۶°۳۹'۲۶"	۵۱°۲۸'۴۳"	کورکورسر	کورکورسر	تبخیر سنج ثبات	نوشهر	۱۴۰۳۱۱۰۰۱
۱۳۴۴	۲۲۰۰	۳۶°۱۱'۵۷"	۵۱°۴۷'۴۰"	هزار	هزار	باراستنج ذخیره	بلده	۱۵۰۱۱۴۰۰۶
۱۳۴۹	-۲۴	۳۶°۳۴'۰۸"	۵۱°۵۳'۴۸"	کنس رود	کنس رود	باران سنجی معمول	عالیم کلا	۱۴۰۳۱۳۰۰۵
۱۳۳۴	۲۱۲۰	۳۶°۰۶'۰۰"	۵۲°۰۵'۰۰"	هزار	هزار	باران سنجی معمول	نماراتاق	۱۵۰۱۱۳۰۰۷
۱۳۵۲	۱۵۰	۳۶°۲۸'۳۳"	۵۲°۰۷'۱۴"	وازرود	وازرود	تبخیر سنج	چمستان	۱۴۰۳۱۱۰۱۱
۱۳۴۸	۱۲۴۰	۳۶°۱۱'۴۷"	۵۲°۱۰'۴۹"	هزار	هزار	باران سنجی معمول	رزن	۱۵۰۱۱۳۰۰۵
۱۳۴۴	-۲۵	۳۶°۳۷'۵۷"	۵۲°۱۵'۳۱"	هزار	هزار	باران سنجی معمول	محمودآباد	۱۵۰۱۱۳۰۰۱
۱۳۴۸	۹۲۰	۳۶°۰۵'۵۰"	۵۲°۱۶'۱۴"	هزار	هزار	باران سنجی معمول	پنچاب	۱۵۰۱۱۳۰۰۸
۱۳۴۴	۳۴۳/۹	۳۶°۱۸'۰۰"	۵۲°۲۱'۵۹"	هزار	هزار	باراستنج ذخیره	کوه سنگ	۱۵۰۱۱۴۰۰۴
۱۳۴۹	۱۶۰	۳۶°۱۹'۰۲"	۵۲°۳۳'۵۴"	بابلرود	بابلرود	باران سنجی معمول	دیو	۱۵۰۱۱۳۰۴۱
۱۳۵۴	۲۰۰	۳۶°۱۸'۰۷"	۵۲°۳۷'۲۷"	بابلرود	بابلرود	باران سنجی معمول	گلوبه بندی	۱۵۰۱۱۳۰۴۲
۱۳۴۴	-۱۸	۳۶°۱۴'۰۳"	۵۲°۴۰'۰۵"	بابلرود	بابلرود	باران سنجی معمول	میاندشت	۱۵۰۱۱۳۰۳۷
۱۳۴۵	•	۳۶°۳۱'۳۷"	۵۲°۴۰'۰۵"	بابلرود	بابلرود	تبخیر سنج ثبات	محوطه اداره بابل	۱۵۰۱۱۱۰۴۹
۱۳۴۴	-۱۸	۳۶°۴۱'۴۹"	۵۱°۰۵'۴۴"	کاظم رود	کاظم رود	تبخیر سنج ثبات	عباس آباد تکابن	۱۴۰۲۱۱۰۲۸
۱۳۴۴	-۲۰	۳۶°۴۱'۴۱"	۵۲°۴۴'۲۴"	تالار	تالار	عرب خیل	قرآن تالار	۱۵۰۲۱۳۰۰۲
۱۳۲۸	۱۰۲	۳۶°۱۸'۱۶"	۵۲°۴۶'۳۰"	تالار	تالار	باران سنجی معمول	کیا کلا	۱۵۰۲۱۳۰۰۳
۱۳۴۹	-۵	۳۶°۳۳'۳۰"	۵۲°۴۸'۴۰"	تالار	تالار	باران سنجی معمول	شیرگاه	۱۵۰۲۱۳۰۰۵
۱۳۴۴	۲۶۶	۳۶°۱۸'۱۰"	۵۲°۵۰'۳۰"	تالار	تالار	باران سنجی معمول	لاریم	۱۵۰۲۱۳۰۰۹
۱۳۴۴	-۵	۳۶°۴۳'۱۲"	۵۲°۵۵'۰۸"	سیاهرود	سیاهرود	باران سنجی معمول	کردخیل	۱۵۰۳۱۳۰۰۱
۱۳۴۴	-۵	۳۶°۴۲'۳۶"	۵۲°۰۶'۱۷"	تجن	تجن	باران سنجی معمول	ریگ چشم	۱۵۰۳۱۳۰۰۷
۱۳۳۳	۴۲۰	۳۶°۲۱'۵۴"	۵۲°۱۱'۱۵"	تجن	تجن	باران سنجی معمول	کله	۱۵۰۲۱۳۰۱۵
۱۳۴۹	۱۵۵۷	۳۶°۰۴'۱۱"	۵۲°۰۹'۴۵"	تجن	تجن	باران سنجی معمول	سودکلا	۱۵۰۲۱۳۰۲۶
۱۳۴۹	۱۲۵۰	۳۶°۰۵'۴۵"	۵۲°۱۱'۲۶"	تجن	تجن	تبخیر سنج	درزیکلا	۱۵۰۲۱۱۰۲۲
۱۳۴۹	۱۳۰۰	۳۶°۰۴'۰۸"	۵۲°۱۲'۱۴"	تجن	تجن	تبخیر سنج ثبات	ولیک چال	۱۵۰۲۱۳۰۲۵
۱۳۴۹	۱۵۰۰	۳۶°۰۵'۵۵"	۵۲°۱۳'۰۰"	تجن	تجن	تبخیر سنج ثبات	نوزد آباد	۱۵۰۳۱۱۰۲۴
۱۳۴۴	-۱۹	۳۶°۴۸'۳۸"	۵۲°۱۴'۳۱"	نکارود	نکارود	تبخیر سنج ذخیره	سلیمان تنگه	۱۵۰۳۱۴۰۱۰
۱۳۵۲	۱۳۰۰	۳۶°۰۳'۳۶"	۵۲°۱۳'۴۲"	تجن	تجن	باراستنج ذخیره	سنگده	۱۵۰۲۱۴۰۲۲
۱۳۴۸	۱۱۵	۳۶°۳۳'۳۵"	۵۲°۱۵'۱۹"	دارابکلا	دارابکلا	باران سنجی معمول	دارابکلا	۱۵۰۳۱۳۰۲۳
۱۳۴۳	۹۳۰	۳۶°۱۲'۰۱"	۵۲°۱۵'۱۶"	تجن	تجن	باران سنجی معمول	تلارم	۱۵۰۳۱۳۰۱۲
۱۳۴۷	۵۰	۳۶°۳۸'۵۴"	۵۲°۱۷'۴۱"	نکارود	نکارود	باران سنجی معمول	آبلو	۱۵۰۳۱۳۰۲۵
۱۳۴۹	۶۶۰	۳۶°۳۶'۰۵"	۵۲°۳۵'۲۰"	نکارود	نکارود	باران سنجی معمول	گلور	۱۵۰۳۱۳۰۴۴
۱۳۴۹	۱۲۶۰	۳۶°۳۷'۰۴"	۵۲°۴۳'۲۵"	نکارود	نکارود	باران سنجی معمول	پچیم	۱۵۰۳۱۳۰۴۳
۱۳۴۹	۱۰۴۶/۴	۳۶°۳۶'۰۷"	۵۲°۵۳'۰۰"	نکارود	نکارود	تبخیر سنج ذخیره	سفیدچاه	۱۵۰۳۱۴۰۴۰
۱۳۴۹	۹۰	۳۶°۴۴'۱۱"	۵۲°۵۵'۲۵"	خلیج گرگان	خلیج گرگان	باران سنجی معمول	چفاکنده	۱۵۰۴۱۳۰۰۷
۱۳۴۰	۱۴۳۰	۳۶°۳۸'۲۰"	۵۲°۰۴'۲۴"	نکارود	نکارود	باران سنجی معمول	بارکلا	۱۵۰۳۱۳۰۳۸
۱۳۴۸	۳۰	۳۶°۴۳'۱۳"	۵۲°۳۲'۲۳"	خلیج گرگان	خلیج گرگان	تبخیر سنج	تیرتاش	۱۵۰۴۱۳۰۰۶
۱۳۷۱	۱۲۰	۳۶°۲۶'۳۶"	۵۲°۲۵'۱۴"	هزار	هزار	باران سنجی معمول	فیروزکلا آمل	۱۵۰۱۱۳۰۳۴

من-کنال، جهت تعیین سطح معنی‌داری روند بارش نزولی و صعودی بررسی شدند. روندهای مشاهده شده با استفاده از روش درون‌یابی وزنی مجذور فاصله (IDW) درون‌یابی شدند. IDW یک سطح رستری را ایجاد می‌کند. مقادیر سلول رستر با میانگین‌گیری مقادیر داده هر ایستگاه در مجاورت هر سلول محاسبه می‌شود.

در این پژوهش روند تعییرات بارش ماهانه، فصلی، سالانه ایستگاه‌های هواشناسی استان مازندران در سه دوره ۳۰، ۴۰، ۵۰ ساله که در جدول ۱ ارایه شده است، با آزمون ناپارامتری من-کنال مورد بررسی قرار گرفتند. بارش ماهانه، فصلی و سالانه برای ایستگاه‌های مورد مطالعه در سه سطح اطمینان ۹۵، ۹۰ و ۹۹ درصد با استفاده از آزمون

$$v(S) = \frac{n(n-1)(2n+5) - \sum_{i=1}^n t_i(t_i-1)(2t_i+5)}{18} \quad (4)$$

که در آن  $S$  آماره مان-کندال که از رابطه (۱) با توجه به مقادیر داده‌ها محاسبه می‌شود.  $V(S)$  واریانس آماره  $S$  است و اندیس  $i$  نشان‌دهنده شماره دسته آم است که دارای داده‌های مشابه هم در ترتیب تاریخی می‌باشد.  $T_i$  تعداد داده‌های یکسان در دسته آم می‌باشد. آماره آزمون استاندارد شده  $Z$  به شرح زیر می‌باشد:

$$Z = \begin{cases} \frac{s-1}{\sqrt{V(S)}} & S > 0 \\ \frac{s+1}{\sqrt{V(S)}} & S < 0 \end{cases} \quad (5)$$

آماره آزمون MK استاندارد شده  $Z$  از توزیع نرمال استاندارد با میانگین صفر و واریانس واحد پیروی می‌کند. فرض صفر به شرطی پذیرفته می‌شود که قدر مطلق  $Z$  محاسبه شده از مقدار  $Z$  نرمال استاندارد در سطح معنی دار  $\alpha$  کمتر باشد. در این پژوهش سطوح معنی دار یک و پنج درصد مورد استفاده قرار گرفت. اگر  $Z$  محاسبه شده بزرگتر از رقم آستانه‌ای  $1/64$  و  $1/96$  باشد، روند داده‌ها به ترتیب در سطح  $10$  و  $5$  درصد معنی دار و در غیر این صورت، غیر معنی دار فرض می‌شود. به همین ترتیب اگر  $Z$  محاسبه شده بزرگتر از رقم  $2/33$  باشد، روند داده‌ها در سطح  $1$  درصد معنی دار فرض می‌شود. در غیر این صورت فرض صفر مبنی بر وجود روند در داده‌ها در سطح معنی دار مورد نظر، رد می‌شود.

## نتایج و بحث

نتایج آنالیز روند بارش ماهانه، فصلی و سالانه در دوره‌های  $30$ ،  $40$  و  $50$  ساله در سطح اطمینان  $95$ ،  $90$  و  $99$  درصد به ترتیب در شکل‌های  $3$ ،  $2$  و  $4$  آورده شده است. همان‌طوری که نمودارهای این شکل‌ها نشان می‌دهند، روندهای متفاوتی در ایستگاه‌های باران‌سنگی در ماهها و فصل‌های مختلف شاهد وجود دارد. در حالت کلی، روندهای نزولی بیشتر در  $6$  ماه نخست سال آبی یعنی از مهر ماه تا اسفند ماه و روندهای صعودی بیشتر در  $6$  ماه آخر یعنی از فروردین تا شهریور ماه برای دوره‌های مورد مطالعه وجود دارد. به همین ترتیب هم نتایج مشابهی در مقیاس فصلی شاهد هستیم که روندهای نزولی، بیشتر در پاییز و زمستان و روندهای صعودی، در بهار و تابستان می‌باشد. برای دوره  $30$  ساله با توجه به نتایج نشان داده شده در شکل  $1$ ، از بین  $47$  ایستگاه مورد مطالعه برای دوره  $30$  ساله، بیشترین تعداد ایستگاه دارای روند نزولی در مهر ماه در سطح اطمینان مختلف اتفاق افتاده است که برای سطوح اطمینان  $95$ ،  $90$  و  $99$  درصد به ترتیب  $22$ ،  $31$  و  $4$  ایستگاه دارای روند نزولی می‌باشد. بعد از مهرماه، ماه بهمن دومین رتبه را از لحاظ داشتن تعداد ایستگاه‌های روند نزولی در منطقه دارد. برای روندهای صعودی نیز ماه تیر دارای بیشترین تعداد ایستگاه می‌باشد که برای سطوح اطمینان  $95$ ،  $90$  و  $99$  درصد به ترتیب  $15$ ،  $27$  و  $10$  ایستگاه دارای روند صعودی می‌باشد. بعد از تیر ماه، ماه اردیبهشت دومین رتبه را از لحاظ تعداد ایستگاه‌های روند صعودی، در منطقه دارا می‌باشد. در مقیاس فصلی نیز بیشترین تعداد ایستگاه دارای روند نزولی معنی دار در فصل پاییز می‌باشد و فصل بهار نیز دارای بیشترین تعداد ایستگاه روند

آشکارسازی روند تغییرات بارش شمال کشور با استفاده از آزمون غیر پارامتری من-کندال داده‌های ایستگاه، سطوح اطمینان روند ایستگاه‌ها در دوره‌های مطابعی  $30$ ،  $40$  و  $50$  ساله و همچنین روندهای منفی و مثبت می‌باشد. روش درون‌یابی IDW بر این فرض استوار است که تاثیر پدیده مورد نظر با افزایش مسافت، کاهش می‌یابد. به بیانی دیگر پدیده بیوسته در نقاط اندازه‌گیری شده، بیشترین شباهت را به نزدیک‌ترین نقاط برداشت شده دارد. لذا برای تخمین نقاط مجھول، نمونه‌های اطراف باید مشارکت بیشتری نسبت به آنهایی که در فاصله دورتر قرار دارند، داشته باشند. در این مدل از فاصله به عنوان وزن متغیر معلوم در پیش‌بینی نقاط اندازه‌گیری شده استفاده می‌شود زیرا نقش متغیر بیوسته در تاثیرگذاری با فاصله از مکان نقطه مجھول، کاهش می‌یابد. بنابراین هر چه فاصله داده معلوم از نقطه مجھول افزایش می‌یابد، لازم است وزن‌ها بر اساس فاصله کاهش یابند و بنابراین فاصله‌ها معکوس می‌شود. به بیان دیگر از معکوس فاصله به عنوان وزن نقاط اندازه‌گیری شده در پیش‌بینی نقاط مجھول، استفاده می‌شود. به همین دلیل است که این مدل Inverse Distance Weighted نام گرفته است از طرف دیگر تاثیرگذشت وابستگی مکانی در داده‌ها را با استفاده از توان در معکوس فاصله می‌توان اعمال نمود (۷). رابطه کلی درون‌یابی دو بعدی به روش IDW به صورت زیر می‌باشد:

$$W(x, y) = \sum_{i=1}^N \lambda_i w_i \quad (1)$$

$$\lambda_i = \frac{\left(\frac{1}{d_i}\right)^p}{\sum_{k=1}^N \left(\frac{1}{d_k}\right)^p}$$

که  $W(x, y)$  مقدار برآورد شده در موقعیت  $(x, y)$ ،  $N$  تعداد نقاط معلوم مجاور  $(x_i, y_i)$ ،  $\lambda_i$  وزن اختصاص داده شده به هریک از مقدارهای معلوم  $W_i$  در موقعیت  $(x_i, y_i)$ ،  $d_i$  فاصله اقلیدسی بین هریک از نقاط واقع در موقعیت‌های  $(x_i, y_i)$  و  $(x, y)$  و  $P$  مقدار توان است که متأثر از وزن  $W_i$  بر  $W$  است.

## آزمون من-کندال

در آزمون مان-کندال یا MK هر مقدار در سری زمانی به صورت بیوسته و پشت سرهم با بقیه مقدارهای سری، مورد مقایسه قرار می‌گیرد. آماره  $S$  که حاصل جمع همه شمارش‌ها را نشان می‌دهد، به صورت زیر بدست می‌آید:

$$S = \sum_{i=1}^{n-1} \sum_{j=i+1}^n \text{sgn}(x_j - x_i) \quad (2)$$

که در آن  $S$  آماره مربوط به آزمون مان-کندال،  $x_j$  و  $x_i$  به ترتیب مقدار مشاهداتی مربوط به داده  $j$ ام و  $i$ ام تعداد داده‌ها و  $\text{sgn}(x_j - x_i)$  تابع علامت بوده و به صورت زیر تعریف می‌شود:

$$\text{sgn}(x_j - x_i) = \begin{cases} 1 & \text{if } (x_j - x_i) > 0 \\ 2 & \text{if } (x_j - x_i) = 0 \\ -1 & \text{if } (x_j - x_i) < 0 \end{cases} \quad (3)$$

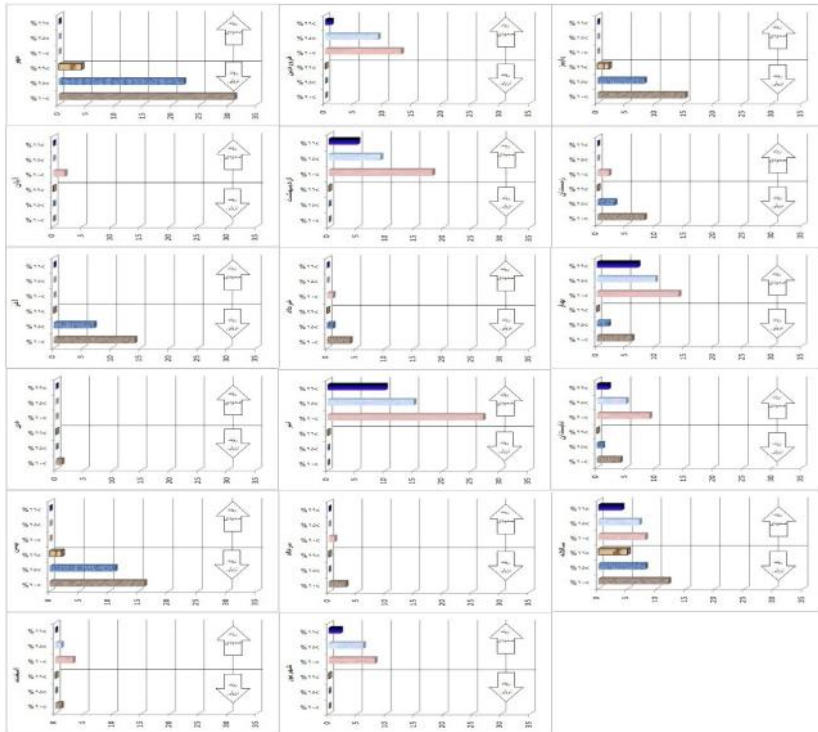
من و کندال نشان دادند که وقتی  $n > 8$  باشد، آماره  $S$  تقریباً به طور نرمال توزیع شده و میانگین آن صفر و انحراف معیار آن به شرح زیر می‌باشد:

۶ و ۴ ایستگاه دارای روند نزولی می‌باشد. برای دوره ۵۰ ساله با توجه به نتایج نشان داده شده در شکل ۳، از بین ۱۵ ایستگاه مورد مطالعه، بیشترین تعداد ایستگاه دارای روند نزولی در بهمن ماه در سطوح اطمینان مختلف اتفاق افتاده است که برای سطوح اطمینان ۹۵، ۹۰، ۹۵ و ۹۹ درصد به ترتیب ۶، ۹ و ۲ ایستگاه دارای روند نزولی می‌باشد. بعد از بهمن ماه، ماه آذر دومین رتبه را از لحاظ داشتن تعداد ایستگاه‌های روند نزولی در منطقه دارا می‌باشد. برای روندهای صعودی نیز ماه تیر دارای بیشترین تعداد ایستگاه می‌باشد که برای سطوح اطمینان ۹۰، ۹۵ و ۹۹ درصد به ترتیب ۱۱، ۹ و ۳ ایستگاه دارای روند صعودی می‌باشد.

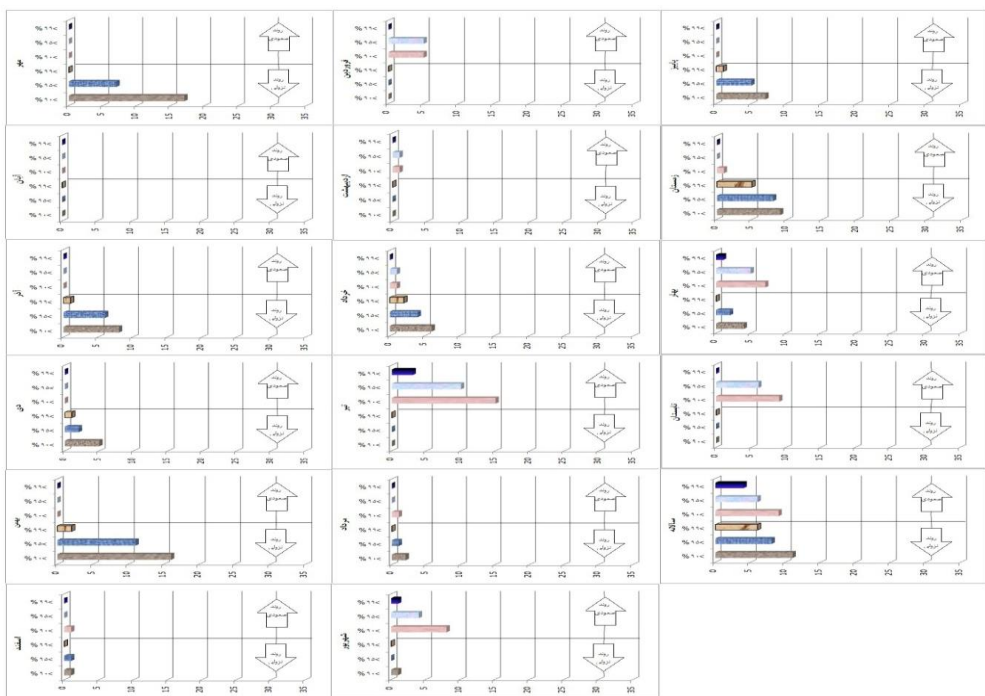
در مقیاس فصلی نیز بیشترین تعداد ایستگاه دارای روند نزولی معنی دار در فصل زمستان می‌باشد و فصل بهار نیز دارای بیشترین تعداد ایستگاه روند صعودی معنی دار در دوره مورد مطالعه می‌باشد. در مقیاس سالانه نیز برای دوره ۵۰ ساله برای سطوح اطمینان ۹۵، ۹۰ و ۹۹ درصد به ترتیب ۵، ۴ و ۴ ایستگاه دارای روند نزولی می‌باشد. به همین ترتیب برای سطوح اطمینان ۹۰ و ۹۵ درصد به ترتیب ۴، ۳ و ۱ ایستگاه دارای روند نزولی می‌باشد. انصاری و همکاران (۱) با استفاده از آزمون ناپارامتری من-کنفال برای حوزه آبخیز رودخانه کاجو نشان دادند که بارش منطقه دارای روندی نزولی، دما دارای روندی صعودی و دبی رودخانه دارای روندی کاوشی است.

صعودی معنی دار در دوره مورد مطالعه می‌باشد. در مقیاس سالانه نیز برای دوره ۳۰ ساله برای سطوح اطمینان ۹۰، ۹۵ و ۹۹ درصد به ترتیب ۱۲، ۸ و ۵ ایستگاه، دارای روند نزولی می‌باشد. به همین ترتیب برای سطوح اطمینان ۹۰، ۹۵ و ۹۹ درصد به ترتیب ۸ و ۷ ایستگاه، دارای روند صعودی می‌باشد.

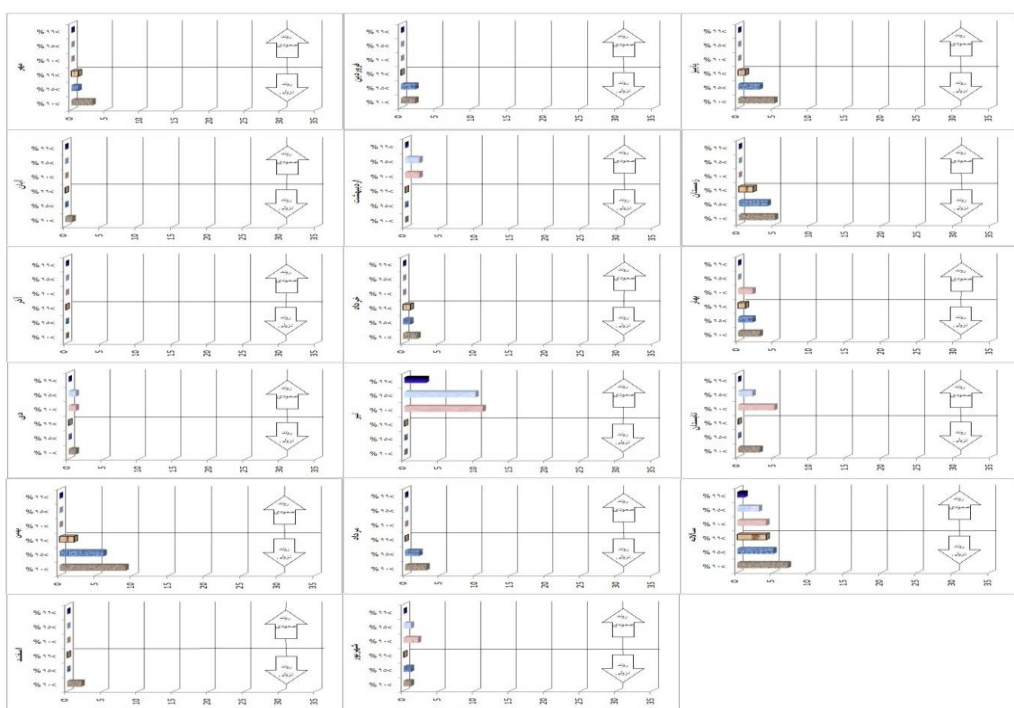
برای دوره ۴۰ ساله با توجه به نتایج نشان داده شده در شکل ۲، از بین ۱۸ ایستگاه مورد مطالعه بیشترین تعداد ایستگاه دارای روند نزولی در مهر ماه در سطوح اطمینان مختلف اتفاق افتاده است که برای سطوح اطمینان ۹۵، ۹۰ و ۹۵ درصد به ترتیب ۱۷ و ۷ ایستگاه دارای روند نزولی می‌باشد. بعد از مهرماه، بهمن ماه دومین رتبه را از لحاظ تعداد ایستگاه‌های روند نزولی در منطقه دارا می‌باشد. ماه تیر دارای بیشترین تعداد ایستگاه از لحاظ داشتن روندهای صعودی می‌باشد که برای سطوح اطمینان ۹۵، ۹۰ و ۹۹ درصد به ترتیب ۱۱، ۱۵ و ۳ ایستگاه دارای روند صعودی معنی دار می‌باشد. بعد از تیرماه، شهریور ماه دومین رتبه را از لحاظ تعداد ایستگاه‌های روند صعودی، در منطقه دارا می‌باشد. در مقیاس فصلی، بیشترین تعداد ایستگاه دارای روند نزولی معنی دار، فصل زمستان می‌باشد و فصل بهار نیز دارای بیشترین تعداد ایستگاه روند صعودی معنی دار در دوره مورد مطالعه می‌باشد. در مقیاس سالانه نیز برای دوره ۴۰ ساله برای سطوح اطمینان ۹۵، ۹۰ و ۹۹ درصد به ترتیب ۱۱، ۸ و ۶ ایستگاه دارای روند نزولی می‌باشد. به همین ترتیب برای سطوح اطمینان ۹۰ و ۹۵ درصد به ترتیب ۹،



شکل ۱- روند بارش مشاهده شده در مقیاس ماهانه، فصلی و سالانه در دوره ۳۰ ساله  
Figure 1. The trend of observed precipitation in the monthly, seasonal and annual scale during the 30-years period



شکل ۲- روند بارش مشاهده شده در مقیاس ماهانه، فصلی و سالانه در دوره ۴۰ ساله  
Figure 2. The trend of observed precipitation in the monthly, seasonal and annual scale during the 40-years period



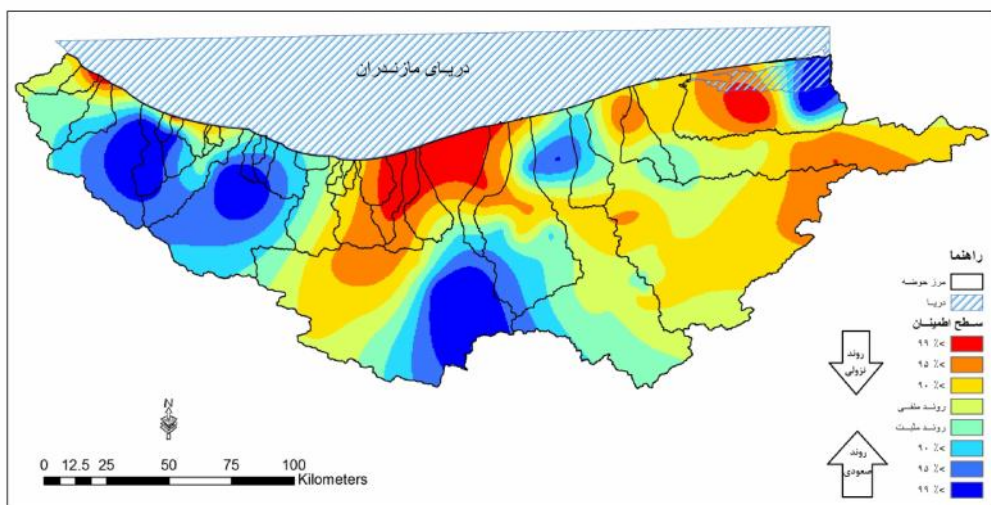
شکل ۳- روند بارش مشاهده شده در مقیاس ماهانه، فصلی و سالانه در دوره ۵۰ ساله  
Figure 3. The trend of observed precipitation in the monthly, seasonal and annual scale during the 50-years period

درون‌بایی شده در این دو دوره تهیه شده است. کلاس‌های نمایش داده شده برای درون‌بایی، شامل سه سطوح اطمینان ۹۰ و ۹۵ و ۹۹ درصد و همچنین روندهای صعودی و نزولی می‌باشد. همان‌طوری که مشاهده می‌شود، نمایش مکانی روندهای بارش آشکار شده، شناخت بهتری از تغییرات و نوسانات مکانی در منطقه مورد مطالعه در

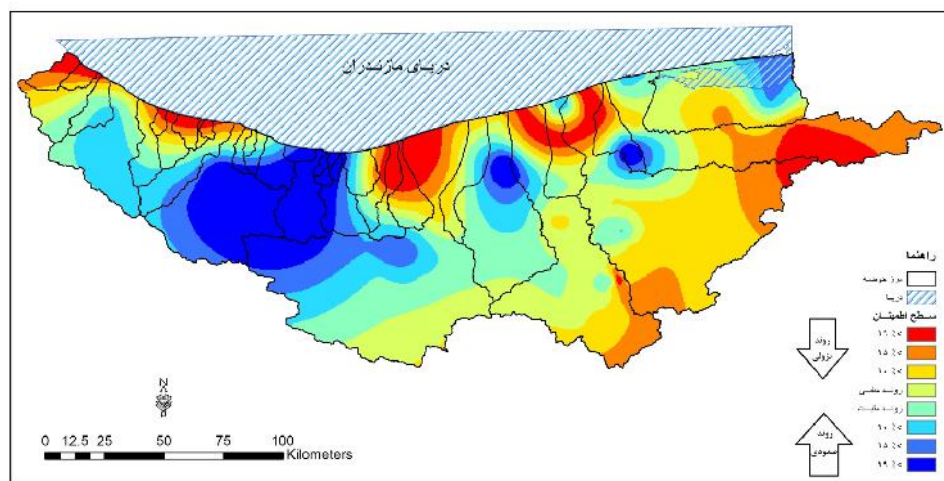
شکل‌های ۵ و ۶ روند بارش درون‌بایی شده به روش IDW را برای میانگین بارش سالانه برای دوره ۳۰ و ۴۰ ساله در مازندران نشان می‌دهند. نتایج خطای RMSE برای دوره ۳۰ ساله ۰/۰۲ و ۰/۴۰ ساله ۰/۱۸ بدست آمده که کارایی روش مذکور را می‌رساند. به دلیل پراکنش مناسب ایستگاه‌های مورد مطالعه در منطقه، نقشه‌های

۵ نشان داده شده است نیز نتایج مشابهی بدست آمد، که روند نزولی را اغلب در شرق استان شاهد هستیم، به طوری که روند نزولی معنی دار در سطح اطمینان ۹۰ درصد در حوزه تالار، در بالادست حوزه حاکم است. برای غرب استان نیز در حوزه چالوس رود روند صعودی در سطح اطمینان ۹۹ درصد، تقریباً در همه زیرحوزه‌های حوزه چالوس رود به چشم می‌خورد. با توجه به نتایج گرفته شده، روند کاهشی بارش در منطقه تحت تاثیر تخریب پوشش گیاهی و فعالیت‌های انسانی و در نتیجه افزایش  $CO_2$  می‌باشد که باعث افزایش دمای منطقه شده که خود سبب تغییرات در میزان بارش می‌شود. این تغییرات هم در کاهش میزان بارش در فصول سرد و همچنین کاهش نزولات به صورت برفی و در نتیجه افزایش باران در بهار می‌شود.

این دوره به دست می‌دهد. با توجه به شکل ۴، برای دوره ۳۰ ساله، ایستگاه‌های با روند نزولی تقریباً در شرق استان قرار دارند که بیشتر حوزه‌های نکارود، تجن و تالار را شامل می‌شود. به طوری که روند بارش در سطح اطمینان ۹۵ درصد برای بخش وسیعی از حوزه نکارود، نزولی معنی دار می‌باشد. در حوزه تجن اغلب روند بارش، نزولی و در سطح اطمینان ۹۰ درصد، معنی دار می‌باشد. در حوزه تالار اگر چه روند معنی دار خاصی را مشاهده نمی‌کنیم اما روند نزولی غالبي را در این حوزه شاهد هستیم. در بخش بالادست حوزه هراز در دوره ۳۰ ساله، روند بارش صعودی و در سطح اطمینان ۹۹ درصد، معنی دار می‌باشد. در قسمت غرب مازندران، اغلب حوزه‌ها (چالوس رود، چشمه کیله، سه هزار و غیره) با روندهای صعودی معنی دار در سطح اطمینان ۹۹ درصد را شاهد هستیم. برای دوره ۴۰ ساله که در شکل



شکل ۴-آزمون روند بارش میانگین سالانه دوره ۳۰ ساله  
Figure 4. The trend test of average annual precipitation during the 30-years period



شکل ۵-آزمون روند بارش میانگین سالانه دوره ۴۰ ساله  
Figure 5. The trend test of average annual precipitation during the 40-years period

و همچنین از لحاظ مکانی در منطقه مورد مطالعه متفاوت می‌باشد. به طوری که در فصول سرد سال، روندهای نزولی و در فصول تابستان، روندهای صعودی را شاهد هستیم، که حاکی از اهمیت تغییر

در این پژوهش روند بارش در سه دوره ۳۰، ۴۰ و ۵۰ ساله برای حوزه‌های آبخیز استان مازندران با استفاده از آزمون من-کنadal بررسی شد. نتایج نشان داده که روند تغییرات در ماهها و فصول مختلف

در روند بارش در این منطقه در آینده رخ می دهد، پیشنهاد می شود که مسئولان و برنامه ریزان منطقه مورد بررسی در بخش های کشاورزی، منابع آب، محیط زیست، صنعت و اقتصاد راه کارهای لازم مانند صرف جویی در مصرف آب، کاهش بهره برداری از منابع آب سطحی و زیرزمینی و تغییر الگوی کشت و غیره را برای کاهش پیامدها و سازگاری با شرایط آب و هوایی جدید اتخاذ کنند.

اقلیم در منطقه مورد مطالعه می باشد. همچنین روند تغییرات در شرق استان، اغلب نزولی و در غرب استان، اغلب صعودی می باشد. روندهای میانگین بارش سالانه نیز در منطقه مورد مطالعه در حال کاهش می باشد که تاثیر آن اغلب در شرق استان و در حوزه های نکارود و تجن می باشد که با مطالعه فرسادنیا و همکران (۴) همخوانی دارد. با توجه به نتایج گرفته شده و با توجه به تغییراتی که

## منابع

- Ansari, M., G. Noori and S. Fotohi. 2016. Investigation of temperature precipitation and flow trend using nonparametric Mankendall (Case study: Kaju river in sistan and baluchestan). *Journal of Watershed Management Research*, 7(14): 152-158.
- Azizi, G., M. Karimi Ahmad Abad and Z. SabokKhiz. 2005. Temperature trend in recent decades in Iran and increasing CO<sub>2</sub>. *Journal of Geographical Sciences*, 4(5): 25-43.
- Chartzoulakis, K. and G. Psarras. 2005. Globalchange effects on crop photosynthesis and production in mediterranean.the case of Crete (Greece). *Agriculture ecosystems and environment Journal*, 106: 147-157.
- Farsadnia, F., M. Rostami Kamrod and A. Moghadam Nia. 2012. Rainfall trend analysis of Mazandaran province using regional Mann-Kendall test. *Iran-Water Resources Research*, 8(2): 60-70.
- Feidas, H., C. Nouloupolou, T. Makrogiannis and E. Bora-Senta. 2007. Trend analysis of precipitation time series in Greece and their relationship with circulation using surface and satellite data: 1955-2001. *Theoretical and Applied Climatology*, 87: 155-177.
- Garbrecht, J., M.V. Liew and G.O. Brown. 2004. Trends in precipitation, stream flow and evapotranspiration in the great plains of the United States. *Journal of Hydrologic Engineering*, 9(5): 360-367.
- Gemmer, M., S. Becker and T. Jiang. 2004. Observed monthly precipitation trends in China 1951-2002, *Theoretical and Applied Climatology*, 77: 39-45.
- Hidalgo, G.J.C., M. De Lui's, J. Ravento's and J.R. Sa'nchez. 2003. Daily rainfall trend in the Valencia region of Spain, *Theoretical and Applied Climatology*, 75: 117-130.
- Intergovernmental Panel on Climate Change (IPCC). 2007. Climate change 2007: IPCC 4<sup>th</sup> Assessment Report2 Cambridge University Press, Cambridge, 438 pp.
- Karl, T.R. and R.W. Knight.1998. Secular trends of precipitation amount, frequency, and intensity in the United States. *Bulletin of the americanmeteoroology society*, 79(2): 231-241.
- Kouchaki, A., H.R. Sharifi and A. Zand. 1998. Ecological consequences of climate change. University Jihad Press. Mashhad, 464 pp.
- Madani, H. 1994. Fundamental of Geostatistic, 1<sup>nd</sup> Ed., Amirkabir University of Technology, Tehran.
- Maryanaji, Z., S. Marofi and H. Abasi. 2008. Detection rate variation and its relationship with meteorological parameters in the field of hamadan by using Mann-Kendall nonparametric test. The third conference of Iran water resources management, Tabriz University, Iran.
- Massah-Bavani, A.R. and S. Morid. 2005. The effects of climate change on river flow of Zayandehrood. *Journal of Water and Soil Science*, 9(4): 17-28.
- Modarres, R. and V.P.R. Silva. 2007. Rainfall trends in arid and semi-arid regions of Iran. *Journal of arid environments*, 70(2): 344-355.
- Naum, S. and I.K. Tanis. 2004. Ranking spatial interpolation techniques using a GIS-based DSS. *Global Nest: The Int*, J, 1: 1-20.
- Pereira, L.S., I. Cordery and I. Iacovides. 2002. Coping with water scarcity. UNESCO IHP VI, Technical documents in hydrology no. 58, UNESCO, Paris. 267 pp.
- Pirnia, A., M. Habibnejad Roshan and K. Solaimani. 2015. Investigation of precipitation and temperature changes in Caspian Sea southern coasts and its comparison with changes in northern hemisphere and global scales. *Journal of Watershed Management Research*, 6(11): 90-100.
- Sabohi, R. and S. Soltani. 2008. Trend analysis of climatic factors in great cities of Iran. *Agriculture and natural resources*, 12(46): 303-322.
- Steele-Dunne, S., P. Lynch, R. McGrath, T. Semmler, S. Wang, J. Hanafin and P. Nolan. 2008. The impacts of climate change on hydrology in Ireland. *Journal of hydrology*, 356(1): 28-45.
- Tabari1, H., A.A. Sabziparvar and S. Marofi. 2009. Investigating trends of annual meteorological parameters in cold and warm climates of Iran. *Agricultural researchwater, soil, plant*, 8(1): 161-174.
- Touazi, M., J. Laborde and N. Bhiry. 2004. Modeling rainfall-discharge at a mean inter-yearly scale in northern Algeria. *Journal of Hydrology*, 296: 179-191.
- Tsakiris, G. and H. Vangelis. 2004. towards a drought watch system based on spatial SPI. *Water Resources Management*, 18(1): 1-12.
- Xu, C.Y., Y.N. Chen and J.Y. Li. 2004. Impact of Climate Change on Water Resources in the Tarim River Basin, *Water Resources Management*, 18: 439-458.

## Change Detection of Precipitation Trend of Northern Part of Iran using Mann- Kendall Non-Parametric Test

Mojtaba Khoshravesh<sup>1</sup>, Mohammad Mirnaseri<sup>2</sup> and Mahsa Pesarakloo<sup>3</sup>

1- Assistant Professor, Department of Water Engineering, Sari Agricultural Sciences and Natural Resources University

2- Lecturer, Department of Water Engineering Sari Agricultural Sciences and Natural Resources University

(Corresponding author: Mohammadmirnaseri@yahoo.com)

3- Graduated M.Sc. Student, Department of Water Engineering, Sari Agricultural Sciences and Natural Resources University

Received: January 16, 2016

Accepted: February 4, 2017

### Abstract

Climate scientists have concluded that the air temperature of earth's surface warmed to 0.6 during the 20th century, and that warming induced by increasing concentrations of greenhouse gases accompanied by changes in the precipitation and hydrologic cycle. Monthly, seasonal and annual precipitation trends of meteorological stations have been analyzed and interpolated in the northern part of Iran for three periods (30, 40, 50 years). The Mann-Kendall trend test was applied to examine the monthly precipitation data. Significant positive and negative trends at the 90, 95, and 99 percent confidence levels were detected for numerous stations. The detected trends were spatially interpolated by applying the inverse distance weighted (IDW) interpolation method. The amount of RMSE for different variables obtained using IDW less than 0.2, indicating the effectiveness of this method in the interpolation of rainfall. The results showed that the trend of variation, both in terms of time and spatial is different in the study area, as has experienced downward trend in cold season and upward trend in warm season which indicates the importance of climate change in the study area. The spatial variation trends results for mean annual precipitation of 30 and 40 years period showed that the east of region have downward trend and the west of region have the upward trend. For the 40-years period, downward trend of station nearly are situated in eastern part of region, as downward trend at 90% confidence level are evident for Talar basin. The western part of region experienced upward trend at 99% confidence level especially in Chaloos-roud basin. The results of this study indicated that the region has experienced the severe climatic change which the better understanding of the climate variation and its impacts on water resources, natural environment and other related sector are necessary.

**Keywords:** Climate change, Analysis of the time series, Interpolation, IDW, Mazandaran state